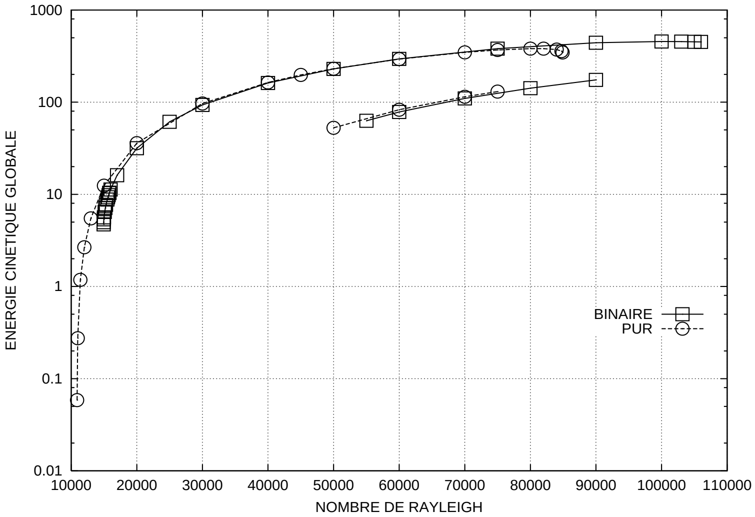

Figure 1: *Energie cinétique globale des états convectifs stationnaires obtenus; les branches supérieures et inférieures correspondent respectivement aux systèmes à une et deux cellules.*

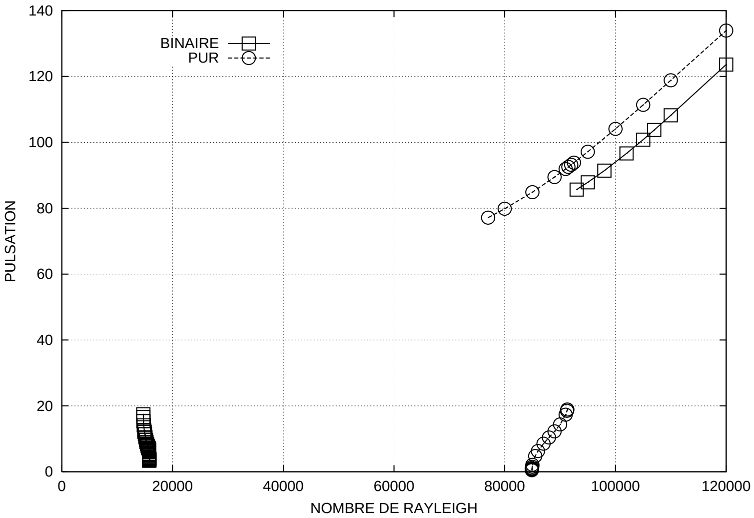

Figure 2: *Pulsation des états convectifs oscillants obtenus; les branches inférieures et supérieures correspondent respectivement aux systèmes à une et deux cellules.*

Etat	début	fin	$Ra \nearrow$	$Ra \searrow$
$cond$		10870 ± 10	sta^{1c}	
sta^{1c}	10870 ± 10	84900 ± 5	osc^{1c}	$cond$
osc^{1c}	84900 ± 5	91365 ± 5	osc^{2c}	sta^{1c}
osc^{2c}	76000 ± 1000	> 120000	?	sta^{2c}
sta^{2c}	47500 ± 2500	76000 ± 1000	osc^{2c}	sta^{1c}

Tableau 1: *Domaines d'existence des états accessibles à un fluide pur; Les deux dernières colonnes indiquent respectivement vers quel régime le système tend lorqu'on augmente ou diminue Ra*

Etat	début	fin	$Ra \nearrow$	$Ra \searrow$
$cond$		15168 ± 1	osc_1^{1c}	
osc_1^{1c}	14718 ± 2	15620 ± 5	osc_2^{1c}	$cond$
osc_2^{1c}	15620 ± 5	15785.5 ± 0.1	osc_3^{1c}	osc_1^{1c}
osc_3^{1c}	15784.5 ± 0.1	15796.9 ± 0.1	sta^{1c}	osc_2^{1c}
sta^{1c}	14938 ± 0.1	106000 ± 1000	osc^{2c}	osc_1^{1c}
osc^{2c}	91500 ± 1500	> 120000	?	sta^{2c}
sta^{2c}	52500 ± 2500	91500 ± 1500	osc^{2c}	sta^{1c}

Tableau 2: *Domaines d'existence des états accessibles à un liquide binaire; Les deux dernières colonnes indiquent respectivement vers quel régime le système tend lorqu'on augmente ou diminue Ra*